

九州大学 正員 山崎徳也

九州大学 学生員○金子忠男

1. 緒言 著者らは先に相対する直線辺が単純支持され、他の2円弧辺が内形曲りはりまたは円弧部材をもつラーメンにより弾性支持される单一扇形板の厳密解法<sup>(1)</sup>を発表したが、道路橋や鉄道橋の曲線部床版は多くの場合直線辺が橋台や橋脚により単純支持され、かつ中間を連続ばりやラーメンによつて円弧状に弾性支持される一方向連続板である。本研究はかかる扇形板・骨組構造系の厳密解法を提示し、併せてこの種の複合構造物の合理的設計に資せんとするものである。なお、解析にあたり文献(1)と同様、連続扇形板を構成する単位扇形板（以下パネルと称す）は全面に渡つて等厚性等断面であり、薄板理論が適用できるものとする。また、板を弾性支持する連続ばりやラーメンの部材列は、その全長に渡つて等断面であり、両端が曲げに対する单纯支持、すなればすこし固定されたものとする（図-2参照）。

2. 解法 図-1に示すことく、全開角 $\alpha$  (rad) なる扇形板 $ABDC$ を考える。扇形板 $ABDC$ は一般に九個のパネルで構成され、これらが互いに $(t+1)$ 本の連続円形曲りはりまたはラーメンの円弧状はり部材列を介して結合されたり、中心Oからこれらの弾性支持はりまでの距離をそれぞれ $r_1, \dots, r_t, \dots, r_9$ とする。また、扇形板の中立面上に中心Oを原点とする円筒座標 $(r, \theta, z)$ を導入し、扇形板のZ軸方向のたわみを $w$ とする。いま、図-1(i)一番目のパネルを取り出せば（図-1(ii)）、 $w_i$ を求めるための基礎微分方程式は次式で与えられる。

$$\left( \frac{\partial^2}{\partial r^2} + \frac{1}{r} \frac{\partial}{\partial r} + \frac{1}{r^2} \frac{\partial^2}{\partial \theta^2} \right) \left( \frac{\partial^2 w_i}{\partial r^2} + \frac{1}{r} \frac{\partial w_i}{\partial r} + \frac{1}{r^2} \frac{\partial^2 w_i}{\partial \theta^2} \right) = \frac{P_i(r, \theta)}{D_i} \quad (1)$$

ここに、

$P_i(r, \theta)$ ；パネル①の任意垂直荷重， $D_i = \frac{E_i I_i^3}{12(1-\nu_i^2)}$ ；パネル①の板剛度，

$E_i, I_i, \nu_i$ ；パネル①の弾性係数、板厚、ポアソン比

式(1)の一般解は次のとおり級数解で与えられる（文献(1)参照）。

$$w_i = \sum_{n=1}^{\infty} (A_n i^{an} + B_n i^{-a_n} + C_n i^{a_n+2} + D_n i^{-a_n-2}) \sin a_n \theta + 1/D_i \sum_{n=1}^{\infty} F_n(r) \sin a_n \theta \quad (2)$$

ここに、 $A_n \sim D_n$ ；積分定数， $a_n = n\pi/a$ ， $n=1, 2, \dots$ ， $F_n(r) = \frac{2}{\alpha} r^4 / [(16-a_n^2)(4-a_n^2)] \int_0^a P_i(r, \theta) \sin a_n \theta d\theta$

式(2)の右辺第一項は式(1)の余関数であり、積分定数 $A_n \sim D_n$ はパネル①の境界条件より決定される。パネル①は節線 $i_1$ 、 $i_2$ 弾性支持され、かつ端モーメントの作用を受けゆえ（図-1(ii)），本題の境界条件は次式の内容となる。

$$\begin{aligned} Y &= Y_{i-1} \quad , \quad (w_i)_{r=Y_{i-1}} = \delta_{i-1} \quad , \quad -D_i \left\{ \frac{\partial^2 w_i}{\partial r^2} + \nu_i \left( \frac{1}{r} \frac{\partial w_i}{\partial r} + \frac{1}{r^2} \frac{\partial^2 w_i}{\partial \theta^2} \right) \right\}_{r=Y_{i-1}} = M_{Y_{i-1}} \quad . \quad \} \\ Y &= Y_i \quad , \quad (w_i)_{r=Y_i} = \delta_i \quad , \quad D_i \left\{ \frac{\partial^2 w_i}{\partial r^2} + \nu_i \left( \frac{1}{r} \frac{\partial w_i}{\partial r} + \frac{1}{r^2} \frac{\partial^2 w_i}{\partial \theta^2} \right) \right\}_{r=Y_i} = M_{Y_i}^{int} \quad \} \end{aligned} \quad (3)$$

式(3)の $\delta_{i-1}, \delta_i, M_{Y_{i-1}}, M_{Y_i}^{int}$ はともに $\theta$ の関数であり、次のとおり級数で表わすものと仮定する。

$$\begin{aligned} \delta_{i-1} &= \sum_{n=1}^{\infty} \delta_{i-1,n} \sin a_n \theta \quad , \quad M_{Y_{i-1}}^{int} = \sum_{n=1}^{\infty} M_{Y_{i-1},n} \sin a_n \theta \quad \} \\ \delta_i &= \sum_{n=1}^{\infty} \delta_{i,n} \sin a_n \theta \quad , \quad M_{Y_i}^{int} = \sum_{n=1}^{\infty} M_{Y_i,n} \sin a_n \theta \quad \} \end{aligned} \quad (4)$$

式(2)および式(4)を式(3)に代入すれば、積分定数 $A_m \sim D_n$ に関する4式がえられ、これらを連立して次の結果を得る。

$$\begin{aligned} E. A_m &= M_{mn}^{i+1} \bar{a}_m / D_o + M_{mn}^{i+1} \bar{a}_m / D_o + \bar{c}_m \bar{\delta}_{n-1} - \bar{c}_m \bar{\delta}_m + \bar{g}_m / D_o, \\ E. B_m &= -M_{mn}^{i+1} \bar{c}_m / D_o - M_{mn}^{i+1} \bar{c}_m / D_o - \bar{d}_m \bar{\delta}_{n-1} + \bar{d}_m \bar{\delta}_m + \bar{g}_m' / D_o, \\ E. C_m &= M_{mn}^{i+1} \bar{c}_m / D_o - M_{mn}^{i+1} \bar{c}_m / D_o - f_m \bar{\delta}_{n-1} + f_m \bar{\delta}_m + \bar{g}_m / D_o, \\ E. D_m &= -M_{mn}^{i+1} \bar{f}_m / D_o - M_{mn}^{i+1} \bar{f}_m / D_o - h_m \bar{\delta}_{n-1} + h_m \bar{\delta}_m + \bar{g}_m' / D_o. \end{aligned} \quad (5)$$

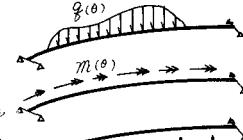
ここに、 $\bar{a}_m, \bar{a}_m, \bar{c}_m, \bar{c}_m, \bar{c}_m, \bar{d}_m, \bar{d}_m, \bar{e}_m, \bar{e}_m, \bar{f}_m, \bar{f}_m, \bar{g}_m, \bar{g}_m, \bar{g}_m, \bar{g}_m$  は  $\gamma, \nu, \kappa$  および  $n$  の関数である。式(5)を式(2)に代入すれば、パネル①のたわみ  $W$  が次式のことく決定されることになる。

$$W = \frac{1}{2} D_o \sum_{n=1}^{\infty} \{ \bar{f}_m(\nu) M_{mn}^{i+1} + \bar{f}_m(\nu) M_{mn}^{i+1} + \bar{g}_m(\nu) D_o \bar{\delta}_{n-1} + \bar{g}_m(\nu) D_o \bar{\delta}_m + \bar{h}_m(\nu) D_o \bar{\delta}_{n-1} + \bar{h}_m(\nu) D_o \bar{\delta}_m \} \sin m\theta + \frac{1}{2} D_o \sum_{n=1}^{\infty} \{ \bar{g}_m(\nu) + \bar{f}_m(\nu) \} \sin m\theta \quad (6)$$

ここに、 $\bar{X} = D_o / D_o$ ,  $D_o$ ; 基準板剛度,  $\bar{f}_m, \bar{f}_m, \bar{g}_m, \bar{g}_m, \bar{h}_m, \bar{h}_m$  は  $n$  の関数である。

上式(6)における  $M_{mn}^{i+1}, \bar{M}_{mn}^{i+1}, \bar{\delta}_{n-1}, \bar{\delta}_m$  は、扇形板とこれを弹性支持するはり部材列の間に成立すべき次の条件より求められる。すなわち、(i)板を弹性支持するはり部材列のたわみ  $\bar{\delta}$  は、パネル①および④から伝達される板反力および曲げモーメントをそれぞれ荷重として受けたはりのたわみ曲線に他ならぬ。(ii)節線においては、はり部材列のねじれ回転角とパネル①, ④の半径方向のたわみ角とは相等しい。一方、図-2に示すこときはり部材列のたわみは文献(1)より次式で与えられる。

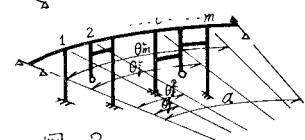
$$\bar{\delta}_i = \sum_{n=1}^{\infty} \bar{a}_m \sin m\theta = \frac{\kappa_i}{\alpha D_o} \sum_{n=1}^{\infty} \left( Y_i^2 \Delta_m \bar{\delta}_n - Y_i^2 \Delta_m \bar{m}_n - \frac{2}{\alpha} Y_i^2 \Delta_m \sum_{j=1}^m R_j^i \sin m\theta_j \right. \\ \left. - \frac{2}{\alpha} Y_i \bar{a}_m \Delta_m \sum_{j=1}^m M_j^i \cos m\theta_j + \frac{2}{\alpha} Y_i \bar{a}_m \Delta_m \sum_{j=1}^m M_j^i \sin m\theta_j \right) \sin m\theta \quad (7)$$



ここに、 $\kappa_i = Y_i \alpha D_o / E_i J_{i0}$ ,  $\Delta_m = (\alpha^2 + Y_i^2 / \mu) / (\alpha^2 (\alpha^2 - 1)^2)$ ,  $\bar{m}_n = (1 + Y_i^2 / \mu) / (\alpha^2 - 1)^2$ ,  $\mu = G_i J_i / E_i J_{i0}$  はり部材列の曲げモーメントとねじれ回転角の関係式。支点  $j$  に生ずる垂直反力および接線方向、法線方向の反カセメント。

同様に、はり部材列のねじれ回転角  $\theta_i$  は次のとくである。

$$\theta_i = \frac{\kappa_i}{\alpha D_o} \sum_{n=1}^{\infty} \left( -Y_i \Delta_m \bar{\delta}_n + \Delta_m \bar{m}_n + \frac{2}{\alpha} \Delta_m \sum_{j=1}^m R_j^i \sin m\theta_j + \frac{2}{\alpha} Y_i \bar{a}_m \Delta_m \sum_{j=1}^m M_j^i \cos m\theta_j \right. \\ \left. - \frac{2}{\alpha} Y_i \bar{a}_m \sum_{j=1}^m M_j^i \sin m\theta_j \right) \sin m\theta \quad (8)$$



ここに、 $\Delta_m = (1 + \alpha^2 / \mu) / ((\alpha^2 - 1)^2 (1 + 1/\mu))$ ,  $\bar{m}_n = 1 / (\alpha^2 - 1)^2$ .

図-2

式(7), (8)において、 $\theta$  の代りに節線におけるパネル①, ④の板反力の合力 ( $-V_r^{i+1} + V_r^{i+1}$ ) を用い、 $m$  の代りに端モーメントの総和 ( $M_r^{i+1} + M_r^{i+1}$ ) を用いれば、本題のはり部材列のたわみ  $\bar{\delta}$  とねじれ回転角  $\theta_i$  が求められる。さて、半径方向の板反力  $V_r$  とパネル①のたわみ  $W$  との関係は周知のことく次式で与えられる。

$$V_r = -D_o \left\{ \frac{\partial^3 W}{\partial r^3} - \frac{1}{r^2} \frac{\partial W}{\partial r} + \frac{1}{r} \frac{\partial^2 W}{\partial r^2} - \frac{(3-\nu)}{r^3} \frac{\partial^2 W}{\partial \theta^2} + \frac{(2-\nu)}{r^2} \frac{\partial^2 W}{\partial r \partial \theta^2} \right\} \quad (9)$$

式(9)に式(6)を代入すれば、 $V_r^{i+1}, V_r^{i+1}$  が次のとく求められる。

$$V_r^{i+1} = \sum_{n=1}^{\infty} V_r^{i+1} \sin m\theta = -X_i D_o \sum_{n=1}^{\infty} \left[ \bar{f}_m(\nu) M_{mn}^{i+1} + \bar{f}_m(\nu) M_{mn}^{i+1} + \bar{g}_m(\nu) D_o \bar{\delta}_{n-1} - X_i \bar{a}_m(\nu) D_o \bar{\delta}_m + [\bar{g}_m(\nu) + F_m(\nu)] \sin m\theta \right] \sin m\theta \quad (10)$$

$$V_r^{i+1} = \sum_{n=1}^{\infty} V_r^{i+1} \sin m\theta = -X_i D_o \sum_{n=1}^{\infty} \left[ \bar{f}_m(\nu) M_{mn}^{i+1} + \bar{f}_m(\nu) M_{mn}^{i+1} + \bar{g}_m(\nu) D_o \bar{\delta}_{n-1} + X_i \bar{a}_m(\nu) D_o \bar{\delta}_m + [\bar{g}_m(\nu) + F_m(\nu)] \sin m\theta \right] \sin m\theta \quad (10)$$

ここに、 $\bar{f}_m, \bar{f}_m, \bar{g}_m, \bar{g}_m, F_m$  は  $\nu, \kappa$  および  $n$  の関数である。

したがって、式(7)と式(10)を用いれば、条件(1)は次式のことくあらわされる。

$$\bar{f}_m(\nu) M_{mn}^{i+1} + \bar{f}_m(\nu) M_{mn}^{i+1} + \bar{g}_m(\nu) M_{mn}^{i+1} + \bar{g}_m(\nu) M_{mn}^{i+1} + \psi(\nu) D_o \bar{\delta}_{n-1} + \psi(\nu) D_o \bar{\delta}_m + \bar{V}_r(\nu) D_o \bar{\delta}_{n-1} = \bar{F}_r(\nu) \\ + \frac{2}{\alpha} Y_i \bar{a}_m \sum_{j=1}^m R_j^i \sin m\theta_j + \frac{2}{\alpha} Y_i \bar{a}_m \sum_{j=1}^m M_j^i \cos m\theta_j - \frac{2}{\alpha} Y_i \bar{a}_m \sum_{j=1}^m M_j^i \sin m\theta_j \quad (11)$$

ここに、 $\bar{f}_m, \bar{f}_m, \bar{g}_m, \bar{g}_m, \psi, \psi, \bar{V}_r, \bar{F}_r$  は  $\nu, \kappa$  および  $n$  の関数である。

また、条件(4)は次式のようにならねばならない。

$$Y_i = \left( \frac{\partial w_i}{\partial Y} \right)_{Y=K} = \left( \frac{\partial w_{i+1}}{\partial Y} \right)_{Y=K} \quad (12)$$

式(8)と式(10)よりえられる結果と式(6)とを式(12)の第1式に代入すれば、次の関係式を得る。

$$\begin{aligned} & A_r(K) M_{rn}^{i+1} + A'_r(K) M_{rn}^{i+2} + \bar{A}_r(K) M_{rn}^{i+3} + \bar{A}'_r(K) M_{rn}^{i+4} + \bar{Q}_r(K) D_o \delta_{n+1} + \bar{Q}'_r(K) D_o \delta_{n+2} = \bar{P}_r(K) \\ & + \frac{2}{\alpha} \Delta m \sum_{j=1}^m R_j^n \sin \alpha \theta_j^n + \frac{2}{\alpha K} \Delta m \sum_{j=1}^m M_j^n \cos \alpha \theta_j^n - \frac{2}{\alpha K} \Delta m \sum_{j=1}^m M_j^n \sin \alpha \theta_j^n \end{aligned} \quad (13)$$

ここに、 $A_r, A'_r, \bar{A}_r, \bar{A}'_r, \bar{Q}_r, \bar{Q}'_r, \bar{P}_r$  は  $Y$  と  $n$  の関数である。

同様に、式(6)を式(12)の第2式に代入して、次式がえられる。

$$\begin{aligned} & f_m^{(i)}(K) M_{rn}^{i+1} + p_m^{(i)}(K) M_{rn}^{i+2} + f_m^{(i)}(K) \frac{X_r}{X_{n+1}} M_{rn}^{i+3} - p_m^{(i)}(K) \frac{X_r}{X_{n+2}} M_{rn}^{i+4} + g_m^{(i)}(K) X_r D_o \delta_{n+1} \\ & + \{ \delta_m^{(i)}(K) - g_m^{(i)}(K) \} X_r D_o \delta_{n+2} - \delta_m^{(i+1)}(K) X_r D_o \delta_{n+3} = \bar{P}_r(K) \end{aligned} \quad (14)$$

ここに、 $\bar{P}_r$  は  $K$  と  $n$  の関数であり、 $f_m, p_m, g_m, \delta_m$  の左肩(1)は  $Y$  における一回微分を意味する。

式(11), (13), (14)はパネル①と②の端モーメントおよび端たわみと両パネルを結合するより部材列①の中間支柱に生ずる不静定反力との関係式であるか。各節線ごとにこれら3条件式が成立する。

次に、第1番目の節線における弹性支持はりの中間に  $m$  個の支柱を有するものとすれば、各支柱頭部におけるそれぞれ 3 個の変形条件、すなはち、(a)柱頭の垂直変位とはり部材列の同点のたわみが等しいこと、(b)柱頭の接線方向の回転角とはり部材列の同点の接線方向たわみ角が等しいこと、および(c)柱頭の法線方向の回転角とはり部材列の同点のねじれ回転角が等しいことの 3 条件が成立するが、これらは文献(4)と同様の演算により次のことがえられる。

$$\left. \begin{aligned} & \frac{2}{\alpha} \sum_{j=1}^m H_{jk}^{i+1} R_j^n + \frac{2}{\alpha K} \sum_{j=1}^m H_{jk}^{i+1} M_j^n - \frac{2}{\alpha} \sum_{j=1}^m H_{jk}^{i+2} M_j^n = X_r D_k^{i+1} - D_k^{i+2} - \frac{E \cdot I_k}{Y_k^2} \delta_k^n, \quad (k=1, 2, \dots, m) \\ & \frac{2}{\alpha} \sum_{j=1}^m H_{jk}^{i+2} R_j^n + \frac{2}{\alpha K} \sum_{j=1}^m H_{jk}^{i+2} M_j^n - \frac{2}{\alpha} \sum_{j=1}^m H_{jk}^{i+3} M_j^n = X_r D_k^{i+2} - D_k^{i+3} - \frac{E \cdot I_k}{Y_k^2} \delta_k^n, \quad (k=1, 2, \dots, m) \\ & \frac{2}{\alpha} \sum_{j=1}^m L_{jk}^{i+1} R_j^n + \frac{2}{\alpha K} \sum_{j=1}^m L_{jk}^{i+1} M_j^n = X_r K_k^{i+1} - K_k^{i+2} + \frac{E \cdot I_k}{Y_k^2} \tau_k^n, \quad (k=1, 2, \dots, m) \end{aligned} \right\} \quad (15)$$

ここに、形状定数:

$$\begin{aligned} H_{jk}^{i+1} &= \sum_{n=1}^{\infty} \Delta_n \sin \alpha \theta_j^n \sin \alpha \theta_k^n & H_{jk}^{i+2} &= \sum_{n=1}^{\infty} \Delta_n \cos \alpha \theta_j^n \sin \alpha \theta_k^n & H_{jk}^{i+3} &= \sum_{n=1}^{\infty} \Delta_n \sin \alpha \theta_j^n \cos \alpha \theta_k^n \\ H_{jk}^{i+2} &= \sum_{n=1}^{\infty} \Delta_n \sin \alpha \theta_j^n \cos \alpha \theta_k^n & H_{jk}^{i+1} &= \sum_{n=1}^{\infty} \Delta_n \cos \alpha \theta_j^n \cos \alpha \theta_k^n & H_{jk}^{i+4} &= \sum_{n=1}^{\infty} \alpha_n \Delta_n \sin \alpha \theta_j^n \cos \alpha \theta_k^n \\ L_{jk}^{i+1} &= \sum_{n=1}^{\infty} \Delta_n \sin \alpha \theta_j^n \sin \alpha \theta_k^n & L_{jk}^{i+2} &= \sum_{n=1}^{\infty} \alpha_n \Delta_n \cos \alpha \theta_j^n \sin \alpha \theta_k^n & L_{jk}^{i+3} &= \sum_{n=1}^{\infty} (1 + \alpha_n^2 / \mu) \Delta_n \sin \alpha \theta_j^n \sin \alpha \theta_k^n \end{aligned}$$

$$\begin{aligned} \text{荷重項:} \quad D_k^{i+1} &= \sum_{n=1}^{\infty} \Delta_n (-V_{rn}^{i+1} + V_{rn}^{i+2}) \sin \alpha \theta_k^n & D_k^{i+2} &= \sum_{n=1}^{\infty} \Delta_n (M_{rn}^{i+1} + M_{rn}^{i+2}) \sin \alpha \theta_k^n \\ D_k^{i+2} &= \sum_{n=1}^{\infty} \alpha_n \Delta_n (-V_{rn}^{i+1} + V_{rn}^{i+2}) \cos \alpha \theta_k^n & D_k^{i+3} &= \sum_{n=1}^{\infty} \alpha_n^2 \Delta_n (M_{rn}^{i+1} + M_{rn}^{i+2}) \cos \alpha \theta_k^n \\ K_k^{i+1} &= \sum_{n=1}^{\infty} \alpha_n^2 \Delta_n (-V_{rn}^{i+1} + V_{rn}^{i+2}) \sin \alpha \theta_k^n & K_k^{i+2} &= \sum_{n=1}^{\infty} \Delta_n (M_{rn}^{i+1} + M_{rn}^{i+2}) \sin \alpha \theta_k^n \end{aligned}$$

$d\theta$ : はり部材列の中間支柱の垂直変位量

$\tau\theta$ : はり部材列の中間支柱の接線方向の回転角

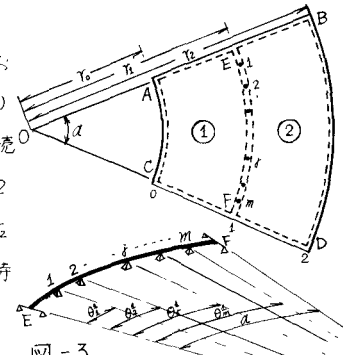
$\phi\theta$ : はり部材列の中間支柱の法線方向の回転角

1 つめ、2 つめ、全ての節線における式(4), (13), (14)の連続条件と式(15)の変形条件とを連立させこれ解けば、未知不静定量  $M_{rn}, \delta_n, R, M^i, M^o$  を求められることとなるが、これらの連立方程式が未知数の単独項と級数和の項とを同時に含むゆえ、その演算は一般に試算による収束計算となる。また、これらの結果を式(6)に代入すれば、パネル①のたわみが算定され、さうにたわみが扇形板の断面諸量に関する既往の関係から扇形板のたわみ角や曲げモーメント、ねじりモーメントなどとかえられ、本題の連続扇形板が解けることになる。

### 3. 連続円形曲りばかりに2弹性支持される2スパン連続扇形板

簡単な解法例として、図-3に示すとく、直線辺AB, DCより内弧辺AC, BDとともに単純支持され、かつ中間に2(m+1)スパンの連続円形曲りばかりEFにより弹性支持される2スパン連続扇形板ABDCを解く。辺AC, EF, BDに節線番号0, 1, 2を付し、中心Oよりこれらの節線までの距離をそれぞれ $r_0$ ,  $r_1$ ,  $r_2$ とする。上記のことく、扇形板ABDCは辺AC, BDで単純支持されているゆえ、次のときき境界条件がえられる。

$$\delta_{n0} = 0, M_{rn}^{1,0} = 0, \text{ および } \delta_{n2} = 0, M_{rn}^{2,0} = 0 \quad (16)$$



また、扇形板は連続円形曲りばかりに2弹性支持されていふゆえ、中間不静定反力は垂直反力のみである。以上の事項より、節線1上に立てる連続条件式(41), (43), (44)は次の内容となる。

$$R'_1(n)M_{rn}^{1,2} + \bar{R}'_1(n)M_{rn}^{2,1} + \Psi'_1(n)D_o\delta_{n1} = \bar{P}'_1(n) + \frac{2}{\alpha}r_1^2\Delta n \sum_{j=1}^m R_j^1 \sin \alpha_j \theta_j^1 \quad (17)$$

$$\Lambda'_1(n)M_{rn}^{1,2} + \bar{\Lambda}'_1(n)M_{rn}^{2,1} + \Omega'_1(n)D_o\delta_{n1} = \bar{T}'_1(n) + \frac{2}{\alpha}\Delta n \sum_{j=1}^m R_j^1 \sin \alpha_j \theta_j^1 \quad (18)$$

$$P_{n1}^{(0)}(n)M_{rn}^{1,2} - j_{n2}^{(0)}(n)M_{rn}^{2,1} + \{J_{n1}^{(0)}(n) - g_{n2}^{(0)}(n)\}D_o\delta_{n1} = \bar{F}'_1(n) \quad (19)$$

式(17)～(19)を連立して解いて、未知量 $M_{rn}^{1,2}$ ,  $M_{rn}^{2,1}$ および $\delta_{n1}$ を求めれば、次の結果をつる。

$$M_{rn}^{1,2} = -I_1(n)/H_1(n) \sum_{j=1}^m R_j^1 \sin \alpha_j \theta_j^1 + \bar{P}'_1(n)/H_1(n) \quad (20) \quad M_{rn}^{2,1} = f_2(n) \sum_{j=1}^m R_j^1 \sin \alpha_j \theta_j^1 + g_2(n) \quad (21)$$

$$D_o\delta_{n1} = \bar{G}_1(n) \sum_{j=1}^m R_j^1 \sin \alpha_j \theta_j^1 - \bar{T}'_1(n) \quad (22) \quad \text{ここに, } I_1, H_1, P_1, f_2, g_2, G_1, \bar{P}'_1 \text{ は } n \text{ の関数である。}$$

式(20)～(22)を代入してえられた結果を用いれば、パネル①および②の節線1上の板反力の合力が次式で与えられる。  

$$-\nabla_{rn}^{1,2} + \nabla_{rn}^{2,1} = -C_1(n) \sum_{j=1}^m R_j^1 \sin \alpha_j \theta_j^1 + \bar{P}'_1(n) \quad (23) \quad \text{ここに, } C_1, \bar{P}'_1 \text{ は } n \text{ の関数である。}$$

また、式(20), (22)を加え合わせれば、パネル①および②の節線1上の端モーメントの総和が求まり、次式のこととてある。  

$$M_{rn}^{1,2} + M_{rn}^{2,1} = H_1(n) \sum_{j=1}^m R_j^1 \sin \alpha_j \theta_j^1 + \bar{P}'_1(n) \quad (24) \quad \text{ここに, } H_1, \bar{P}'_1 \text{ は } n \text{ の関数である。}$$

したがって、連続円形曲りばかりの中間支点反力を求めるための基本連立方程式か、節線1上に式(45)をたて、右辺荷重項に式(23), (24)を代入してえられた結果を演算のうえ整理して、次のじとく誘導される。

$$\sum_{j=1}^m (\frac{2}{\alpha}H_{jk}^{ii} + r_k S_{jk}^{ii} + T_{jk}^{ii}) R_j^k = Y_k D_{kk}^{ii} - D_{kk}^{ii} - \frac{E I_{kk}}{r_k^2} d_k^k \quad (k=1, 2, \dots, m) \quad (25)$$

$$\text{ここに, } S_{jk}^{ii} = \sum_{n=1}^m \Delta n C_i(n) \sin \alpha_j \theta_j^i \sin \alpha_k \theta_k^i, \quad T_{jk}^{ii} = \sum_{n=1}^m \Delta n H_i(n) \sin \alpha_j \theta_j^i \sin \alpha_k \theta_k^i,$$

$$D_{kk}^{ii} = \sum_{n=1}^m \Delta n \bar{P}'_k(n) \sin \alpha_k \theta_k^i, \quad D_{kk}^{ii} = \sum_{n=1}^m \Delta n \bar{F}'_k(n) \sin \alpha_k \theta_k^i, \quad d_k^k: \text{中間支点處の垂直沈下量}$$

式(25)はm元1次連立方程式であるか、これらを解けば、扇形板ABDCを弹性支持する連続円形曲りばかりの不静定反力が全計算で算定されることとなる。えられた結果を式(20)～(22)に代入すれば、不静定量である $M_{rn}^{1,2}$ ,  $M_{rn}^{2,1}$ ,  $D_o\delta_{n1}$ かののみの関数となり、パネル①, ②のたわみ $w_1$ ,  $w_2$ は式(6)にこなすを代入し、 $n$ について級数和を求めることにより決定される。

**4. 結語** 本題の連続扇形板の未知不静定量 $M_{rn}$ ,  $\delta_n$ ,  $R$ ,  $M^1$ ,  $M^2$ は、一般に式(41), (43), (44), (45)よりえられる連立方程式を試験算法により解かねばならぬいか、3.に示すとき極めて簡単な連続扇形板では式(41), (43), (44)から未知不静定量 $M_{rn}$ ,  $\delta_n$ を中間支点の反力 $R$ ,  $M^1$ ,  $M^2$ の関数として算定のうえ、式(45)に代入すれば、反力 $R$ ,  $M^1$ ,  $M^2$ のみを未知数とする基本連立方程式が求められることとなり、かかる場合1は試験算法を用いること無く直接、未知不静定反力を算出することができる、極めて便利である。

**参考文献** (1)山崎, 横木, 金子“弹性支持ばかりをもつ扇形平板の解法”土木学会第23回年次学術講演会講演概要 昭和43年10月